

## 複数 AGV の Q-学習による衝突回避行動の獲得

旭川高専 ○池田将晴 渡辺美知子 古川正志

### 要旨

複数 AGV の自律運転技術を確立するためには、他の AGV との衝突を避け円滑に走行する必要がある。本研究では、逆に他の AGV との衝突予想行動を Q 学習によって獲得することを行い、得られた知識により衝突回避を行う方法を提案し、衝突予想のシミュレーション結果を示し有効性を検証した。

### 1. はじめに

自律分散型生産システムの構築において、各ショッップ間を自由に移動できる AGV の自律行動を獲得することは難しい問題である。このような問題には経路獲得問題と衝突回避問題があり、すでに Q 学習を採用した経路獲得法を提案してきた。本研究では、AGV 同士が様々な方向から衝突する可能性があることを考慮して、自由度の高い衝突回避行動を逆に衝突予想行動を Q 学習により獲得することで実現する。

### 2. 衝突回避行動獲得問題

衝突回避行動を獲得するにあたって、走行中の AGV を避ける走行ルートは多数存在する。衝突回避は衝突が予想される行動以外の経路であればよいから、本研究では、衝突行動を獲得する方法を取り扱う。衝突回避問題ではこの衝突行動を行わなければ目的が達成される。

#### 2.1 AGV のモデルと前提条件

実験に用いる AGV のモデルを図 1 に示す。

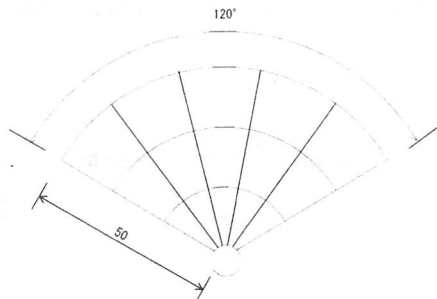


Fig. 1 AGV のモデル

AGV には以下のような前提条件を設定する。

- 1) AGV は前方に 5 個のセンサを持つ。視野は等角度の小領域に 15 分割されている。
- 2) 前提としたセンサによって近づいた他の AGV の距離・方角を知覚できる。

#### 2.2 問題の記述

前提条件をもとに AGV が最短時間で相手 AGV に到達するような一連の行動を求めることがある。

### 2.3 オートマトンによる学習モデル

AGV を 1 個のオートマトンと見なす。自 AGV と相手 AGV をそれぞれ  $A_i, A_j$  とすると、各 AGV,  $A_i$  は、

$$A_i = \{ I_i, O_i, S_i, F_i, G_i \} \quad (1)$$

の 5 項組で記述できる。ここで各記号は、

$$I_i : \text{入力} \quad S_i : \text{AGV の状態}$$

$$O_i : \text{出力} \quad F_i : \text{状態遷移関数}$$

$$G_i : \text{出力関数}$$

である。また、 $A_j$  も同様である。

#### 1) 入力 $I_i$

入力は以下のように構成する。

$$I_i = \{ T_i(t), D_i(t) \}$$

ここで、 $t$  は時刻を表し、

$$T_i(t) : \text{センサーがとらえた } A_j \text{ の情報}$$

$$D_i(t) : A_i \text{ の進行方向}$$

である。

センサから得る情報  $T_i(t)$  は、

$$T_i(t) = \{ DIS_{Aj}, ANG_{Aj} \}$$

とする。ここで  $DIS_{Aj}$ ,  $ANG_{Aj}$  は相手 AGV との距離、方角である。図 1 で示すように、これらの情報は AGV のセンサの小領域に相手 AGV がいるか否かで定まる。

AGV の進行方向  $D_i$  は、図 2 に示すように

$$D_i(t) = \{ D \mid 0, 1, \dots, 11 : \text{時計方向に対応} \}$$

とする。

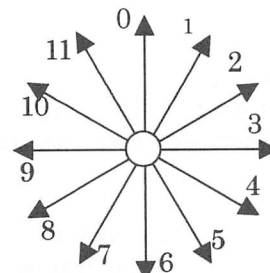


Fig. 2 AGV の進行方向

## 2) 出力 $O_i$

出力は時刻  $t$  における AGV の行動  $O_i(t)$  とする.

$$O_i(t) = \{ h_{left}, l_{left}, forward, l_{right}, h_{right} \}$$

: 左急旋回, 左旋回, 前進, 右旋回, 右急旋回 }

AGV は 5 方向に移動することができる.

## 3) 状態 $S_i$

状態は、センサーの情報である.

$$S_i(t) = \{ T_i(t), T_i(t-1), T_i(t-2) \}$$

衝突経路は一連の行動のつながりであること考え、時刻  $t-2$  までのセンサ情報を時刻  $t$  における状態とする.

## 4) 状態遷移関数 $F_i$

AGV の状態は相手 AGV がセンサ内に入るたびに遷移する.

状態の遷移関数としては Q 学習で用いられる Q 値を採用する.

$$Q_{i,t+1}(S_{i,t}, O_{i,t}) = (1-\alpha)Q_i(S_{i,t}, O_{i,t}) + \alpha [f_c + \gamma \max_{b \in O} Q_i(S_{i,t+1}, b)] \quad (2)$$

式(2)における環境情報からの報酬は、AGV のスタートから衝突するまでの行動で評価する. さらに衝突するまでの経路は一連の行動であることを考えて、バケットブリゲードにより報酬値  $f_c$  を割引係数  $\Gamma$ , 割引率  $d_c$  を用いて以下のように与える.

$$\Gamma_{i+1} = \Gamma_i \cdot d_c \quad (3)$$

$$\text{直接評価 } f_c = R(\text{成功}) \cdot \Gamma_i$$

$$f_c = P(\text{失敗}) \cdot \Gamma_i$$

ただし、 $i = 1, 2, \dots, T$

$$R > 0, P < 0$$

ここで、 $T$  は過去に状態を越る数である.

## 5) 出力関数 $G_i$

$G_i$  は時刻  $t$  における AGV の状態  $S_i$  から行動  $O_i$  確率的に決める関数である. 本実験では、 $G_i$  をボルツマン分布式(4)によって確率的に決定する.

$$O(s, o) = \frac{\exp\{Q(s, o)/T\}}{\sum_{b \in O} \exp\{Q(s, b)/T\}} \quad (4)$$

### 3. 衝突回避問題

衝突問題より理想的な衝突行動が獲得されれば、衝突回避ではそれ以外の行動をとればよい.

しかし、衝突回避後は本来の目的地を目指す行動に移行する必要がある.

### 4. 実験結果

AGV が走行する環境を図 3 に示す. ターゲットの経路は一定方向に直線移動し、外周を障害物とする. Q 学習パラメータは、学習率  $\alpha=0.8$ , 減衰率  $\gamma=0.8$ , 温度係数=1.0 とした. オフラインの Q 学習では 17000 回の学習で最適解に収束した. 図 4 に学習終了間際の AGV の行動を示す. また図 5 に Q 学習の学習曲線を示す.

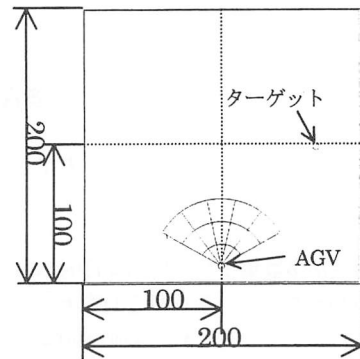


Fig. 3 実験モデル

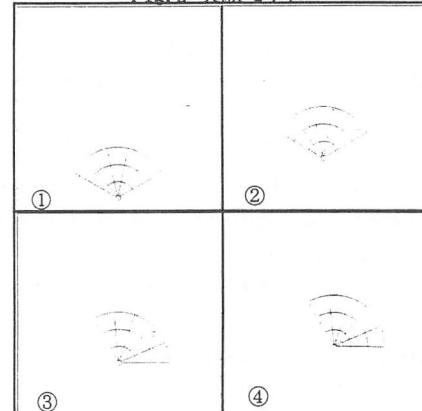


Fig. 4 シミュレーションの様子

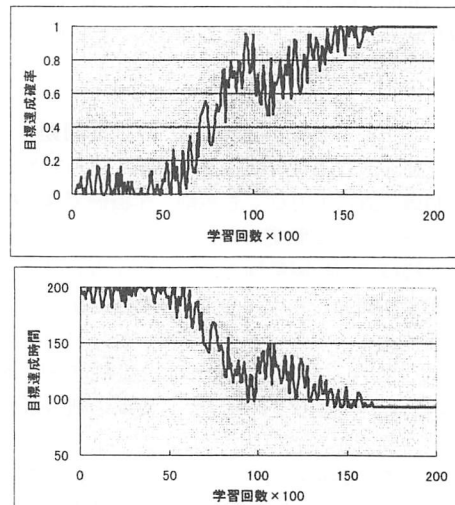


Fig. 5 学習曲線

(上:達成時間収束グラフ, 下:達成確率収束グラフ)

### 5. おわりに

本研究では、AGV に単純なセンサーを持たせているのにもかかわらず、ターゲットの行動を予測し適確に行動させることができた. ただし、この強化学習に対するパラメータに関しては最適な値であるとは限らず、何らかの方法で最適値を求める必要がある.

### 参考文献

- 1) 池田将晴, 渡辺美知子, 古川正志 : 仮想工場における多数 AGV の自律運転に関する研究, 1999 年度精密工学会北海道支部講演会論文集(1999)44